

## مقایسه ساختار دستگاه تولید سم حلزون مخروطی (*Conus textile*) با استفاده از رنگ آمیزی و HEG

فریال منصف<sup>۱</sup>، صابر خدابنده<sup>۲\*</sup>، ایرج نبی پور<sup>۳</sup>

- ۱- دانش آموخته کارشناسی ارشد زیست شناسی دریا، دانشکده علوم دریایی، دانشگاه تربیت مدرس، نور
- ۲- دانشیار، گروه زیست شناسی دریا، دانشکده علوم دریایی، دانشگاه تربیت مدرس، نور
- ۳- استاد، پژوهشکده علوم زیست فناوری دریایی خلیج فارس، دانشگاه علوم پزشکی و خدمات بهداشتی درمانی، بوشهر

دریافت: ۹۲/۰۸/۱۸ پذیرش: ۹۳/۰۴/۲۹

\* نویسنده مسئول مقاله: surp78@gmail.com

### چکیده:

حلزون های دریایی از جنس *Conus* یکی از سمی ترین جانوران گوشت خوار در مناطق گرمسیری و نیمه گرمسیری محسوب شده که به دلیل ترکیبات دارویی استخراج شده از سوم آنها بسیار مورد توجه قرار گرفته اند. برای بررسی ساختار دستگاه تولید سم با دو روش رنگ آمیزی، ۱۲ عدد از گونه *C. textile* از جزیره قشم جمع آوری شده و پس از تثبیت در بوئن، درون الكل به آزمایشگاه منتقل شدند. با شکستن صدف دستگاه تولید سم جدا و قسمت های مختلف آن پس از قالب گیری و برش، با دو روش رنگ آمیزی شامل هماتوکسیلین-اوزین (HE) و هماتوکسیلین-اوزین-گرین لایت (HEG) رنگ شده و عکس برداری شدند. بررسی با لوب نشان داد که اندام تولید سم شامل بخش تولید سم، بخش انتقال و تزریق سم است. بخش اول شامل حباب سم و مجرای سم و بخش دوم شامل کيسه رادولا و خرطوم بود. مقاطع رنگ شده به هر دو روش رنگ آمیزی نشان داد که حباب سم، دارای فيبرهای ماهیچه ای بوده و در وسط، مجرایی دارد که دارای یک ردیف سلول پوششی است. دیواره مجرای سم از ۳ بخش، شامل لایه خارجی عضله ای و لایه داخلی که از سلول های اپیتلیالی استوانه ای با هسته قاعده ای و لومن تشکیل شده اند. مقایسه لامهای رنگ آمیزی شده با HEG نشان داد که اجزای سیتوپلاسمی و هسته سلول ها خیلی واضح تر بوده و به خصوص گرانول ها به راحتی قابل شمارش و حتی بیومتری هستند. اگرچه روش متداول برای رنگ آمیزی یعنی HE به خوبی بخش های مختلف غده را نشان می دهد، اما به نظر می رسد روش HEG علاوه بر تمیز بخش های مختلف باقی، روش مناسبی برای بررسی نقش این اندام در تولید کونوتوكسین ها به شکل گرانول های ترشحی باشد.

**کلید واژگان:** کونوس، غده سم، جزیره قشم، هماتوکسیلین-اوزین، گرین لایت

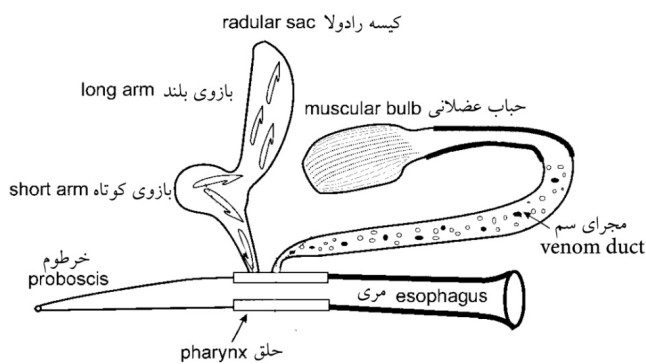
## مقدمه

مجهر شده است و بخش انتهایی مجرای تولید سم، در ابتدای مرز بین حلق با مری وارد حلق می‌شود (شکل (Endean and Duchemin, 1967; Songdahl, 1970; (Marshall et al., 2002) کیسه رادولا یک بازوی بلند و یک بازوی کوتاه دارد که دندان‌ها در بازوی بلند ساخته و دندان‌های بالغ در بازوی کوتاه ذخیره می‌شوند و لومن آن‌ها به مرز بین حلق با مری در نزدیکی مجرای تولید سم باز می‌شود (Marsh, 1977). اگرچه مطالعات متعددی روی ساختار اندام تولید سم در گونه‌های مختلف حلزون دریایی انجام گرفته، ولی هنوز در خصوص نقش بخش‌های مختلف این اندام در ساخت، رسیدگی و ذخیره سم اختلاف نظرهایی وجود دارد.

با توجه به کم بودن اطلاعات بنیادی در خصوص حلزون‌های مخروطی خلیج‌فارس و اهمیت نتایج بافت‌شناسی در شناخت مکان‌ها و مراحل ساخت کونوپیتیدها در اندام تولید سم این آبیان، به کارگیری روش‌های جدید در بررسی ساختار اندام تولید سم در این جانوران لازم است. در این خصوص در حلزون‌های HEG مخروطی خلیج‌فارس و همچنین با استفاده از روش HEG در رنگ‌آمیزی بخش‌های مختلف اندام سم در حلزون‌های مخروطی جهان، اطلاعاتی یافت نشد بنابراین در تحقیق حاضر تلاش شد ساختار اندام تولید سم در گونه C. textile با دو روش HE و HEG بررسی شود.

به طور کلی سلسله جانوران شامل بیش از ۱۰۰۰۰۰ گونه سمی است که در بین شاخه‌های بزرگی مانند طناب‌داران (خرنده‌گان، ماهی‌ها، دوزیستان و پستانداران)، خارپستان (ستاره‌های دریایی، توپیها)، نرم‌تنان (حلزون‌های مخروطی، هشت پاها)، کرم‌های حلقوی (زالوها)، کرم‌های روپانی، بندهای (عنکبوتیان، حشرات، هزارپایان) و کیسه‌تنان (شقایق‌های دریایی، ژله ماهی‌ها و مرجان‌ها) قرار دارند. سم این موجودات اغلب مایعات زیستی بسیار غلیظی هستند که برای خود جانور مزایایی از جمله توانایی ناتوان ساختن طعمه، هضم کارآمد طعمه و دفاع در برابر شکارچیان را دارد (Favreau and Stöcklin, 2009). حلزون‌های دریایی شکارگر از جنس Conus، بدلیل راهبردهای بسیار تکامل یافته شکار که از توکسین‌های پپتیدی با تعداد محدود اسید آمینه برای فلنج کردن طعمه استفاده می‌کنند، به مدت طولانی مورد توجه بوده‌اند. سموم این جانوران به کونوتوکسین<sup>۱</sup> یا کونوپیتید<sup>۲</sup> معروف‌اند (Terlau and Olivera, 2004; Olivera, 2006). کونوتوکسین‌ها، نوروتوکسین<sup>۳</sup> هستند که با داشتن سم مؤثر بر دستگاه عصبی، کانال‌های خاصی را در سیستم عصبی شکار بلوکه می‌کنند. وقتی این کانال‌ها بلوکه شدند، ارتباط در سیستم عصبی متوقف و این عمل باعث فلنج شکار می‌شود و بر اساس نوع حلزون، توکسین ممکن است انواعی از فلنجی را باعث شود (Olivera, 2002; Safavi-Hemami et al., 2011) که فرایند تولید سم در یک مجرای پیچ خورده اتفاق می‌افتد؛ قسمت ابتدایی این مجرا به یک حباب عضلانی

<sup>۱</sup>.Conotoxin<sup>۲</sup>.Conopeptide<sup>۳</sup>.Neurotoxin



شکل ۱ صورت نمادین از دستگاه تولید سم حلزون مخروطی (Marshall et al., 2002)

برش‌های ۳-۴ میکرومتری تهیه گردید و به روش HE و HEG رنگ‌آمیزی و با میکروسکوپ نوری مدل Nikon 3200 مطالعه و با دوربین Olympus DP72 عکس‌برداری شدند Martoja and Martoja-Pierson, 1967; Ghanizadeh and ) Khodabandeh, 2010 (). از هر نمونه یک قالب پارافینی و در مجموع ۱۲ قالب تهیه و از هر قالب حدود ۱۰۰ لام تهیه شد. برای بدست آوردن نتایج طولی، در ۵۰ مقطع طول سلول‌ها اندازه‌گیری و میانگین آن‌ها استفاده شد. تصاویر تهیه شده و نتایج مربوط به طول با استفاده از نرم‌افزار J Image شدند. مطالعه مورفولوژیک و شناسایی گونه با توجه به کلیدهای شناسایی معتبر صورت گرفت (Bosch et al., 1995; Linder, 1999).

**مواد و روش‌ها**  
**نمونه‌برداری**  
نمونه‌برداری حلزون‌های مخروطی در منطقه سینما دریای جزیره قشم انجام گرفت. در زمان نمونه‌برداری (در زمستان ۱۳۹۱) سواحل جزرو مدلی این ناحیه غنی از گونه‌های مختلف جانوری از جمله کونوس‌ها بودند.

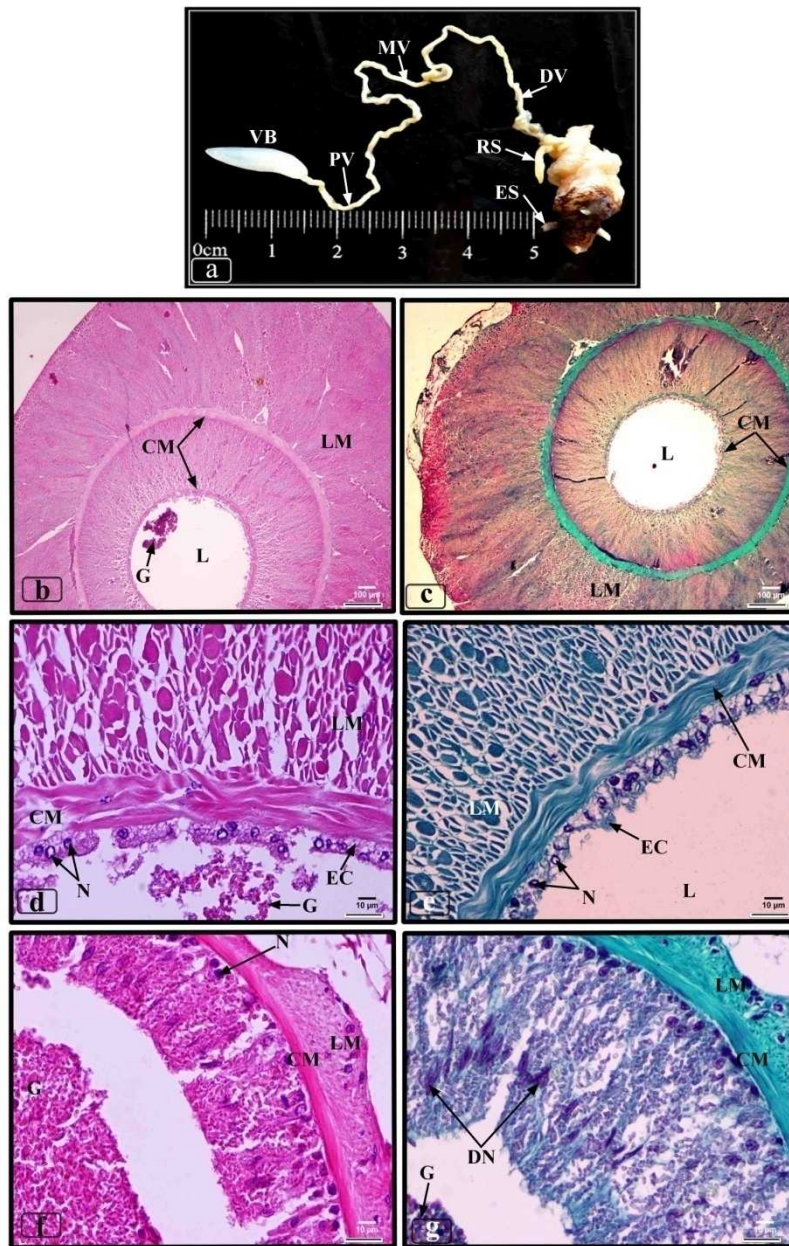
تعداد ۱۲ نمونه هم اندازه از گونه *C. textile* در زمان جزر کامل جمع‌آوری شده و به طور کامل در بوئن به مدت ۲۴ ساعت ثبیت شدند. سپس نمونه‌ها به اتانول ۷۰ درصد انتقال داده شده و به آزمایشگاه بافت‌شناسی دانشکده علوم دریایی دانشگاه تربیت مدرس منتقل شدند.

#### آزمایش‌های بافت‌شناسی

ابتدا صدف حلزون‌ها با گیره آهنی شکسته و جانور با دقت تشریح و اندام تولید سم به طور کامل جدا گردید و با لوپ و دوربین عکس‌برداری شد. برای مطالعات بافت‌شناسی، مراحل آبگیری از اندام تولید سم به وسیله سری افزایشی الكل اتانول و در نهایت با بوتانول (۶ ساعت) انجام شد و با حلال آلی زایلن شفاف‌سازی شده، در سری پارافین مایع، پارافینه و قالب‌گیری با پارافین مرک انجام شد. برای اطمینان از تمیزی لام‌ها، ابتدا آن‌ها را ۲۴ ساعت در محلول ۹۰ میلی‌لیتر اتانول ۹۰ درصد به اضافه ۱۰ میلی‌لیتر اسید کلریدریک قرار دادند و سپس با آب مقطر شستشو داده و به مدت ۲۴ ساعت در آون با دمای ۳۷ درجه سانتی‌گراد خشک کردند. از نمونه‌های قالب‌گیری شده با استفاده از میکروتوم مدل Microds4055

#### نتایج

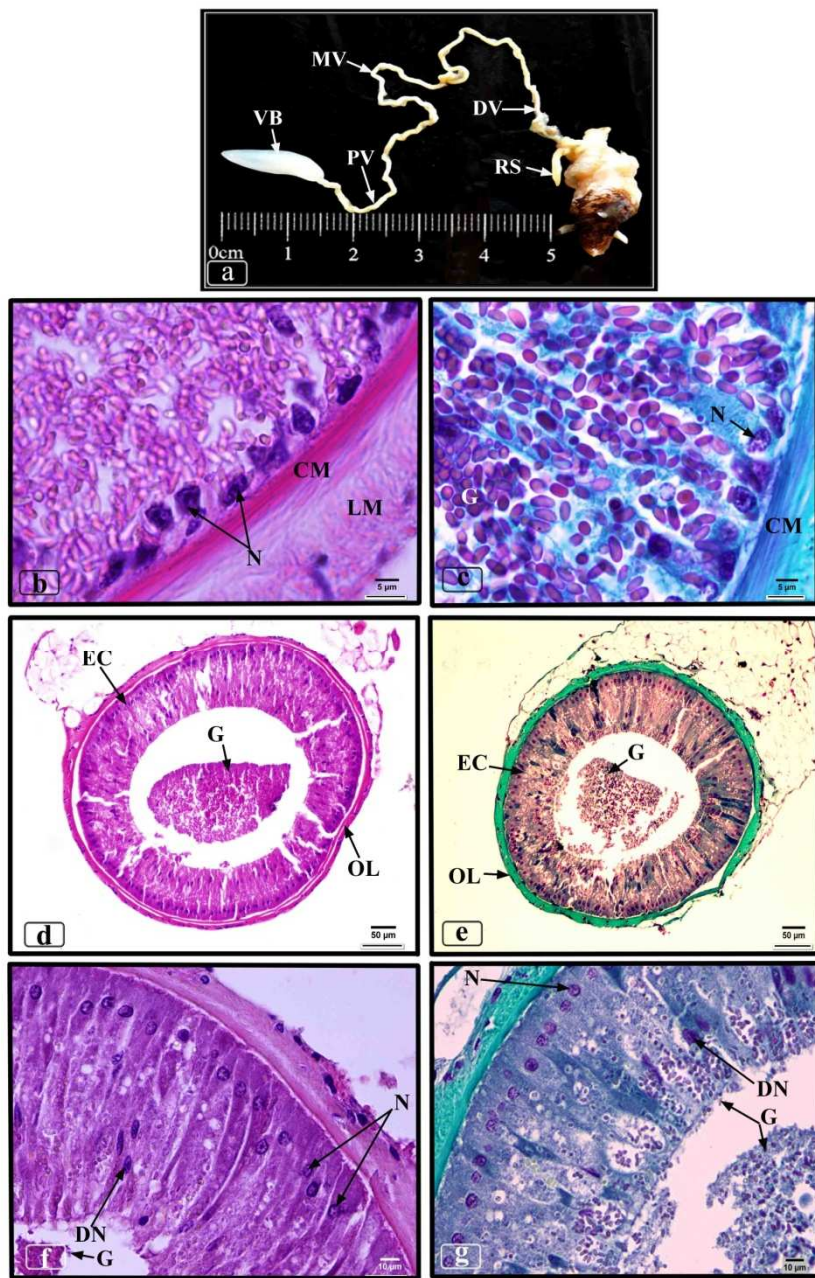
تشريح اندام توليد سم نشان داد ساختار خارجي دستگاه توليد سم در اين گونه از سه بخش اصلی تشکيل شده است: ۱) حباب سم که ساختار حبابي يا لامپ مانند و به نسبت شفاف دارد و در نمونه‌هایی با میانگین طول صدف ۶ سانتی‌متر، حدود ۱۵ میلی‌متر است؛ ۲) مجرای سم که قسمت اعظم دستگاه توليد سم را تشکيل داده و به صورت مجرایي پیچ خورده و کرم رنگ و به طول تقریبی ۱۰ سانتی‌متر است و ۳) حلق که در انتهای دستگاه توليد سم قرار دارد و در محل اتصال حلق با مجرای توليد سم، کيسه‌ای به طول تقریبی ۵ میلی‌متر به نام رادولا قرار گرفته است(شکل ۲-a).



**شکل ۲** تصاویری از دستگاه تولید سم‌برش‌های عرضی حباب سم و قسمت ابتدایی مجرای سم در *C. textile* به روش HEG و HE  
(a) دستگاه تولید سم، که حباب سم (VB) و قسمت ابتدایی مجرای سم (PV) در آن قابل مشاهده است. (b,c): برش عرضی حباب سم که لایه‌هایی عضلات طولی و حلقوی در آن قابل مشاهده است (4x). (d,e): برش عرضی حباب سم که در آن لایه عضلات حلقوی، طولی و سپس داخلی‌ترین لایه و گرانول‌ها دیده می‌شوند (40x). (f,g): برش عرضی مجرای سم در قسمت ابتدایی که در آن سلول‌های ترشحی و هسته‌های جداسازده به وسیله ترشح هولوکرین به خصوص در روش HGE دیده می‌شوند (40x). (CM: ماهیچه حلقوی، EC: سلول اپیتلیالی، DN: هسته‌های جداسازده، G: ساقه چشمی، ES: هسته‌های جدا شده، L: گرانول سم، LM: ماهیچه طولی، MV: قسمت میانی مجرای سم، N: هسته، P: خرطوم، RS: کیسه رادولا).

اپیتیالی ستونی بلند با هسته‌های قاعده‌ای کروی قرار گرفته است (شکل ۳). گرانول‌ها هم در سلول‌های تولیدکننده آن‌ها (سلول‌های ستونی) و هم در لومن مجرما به تعداد زیاد مشاهده شدند که در رنگ‌آمیزی با روش HEG، رنگ این گرانول‌ها از سلول‌های اپیتیالی متفاوت بوده (گرانول‌ها به رنگ صورتی و سلول‌ها به رنگ سبز دیده شدند)، و مشخص‌تر از روش HE (گرانول‌ها و سلول‌ها هر دو به رنگ صورتی هستند)، قابل مشاهده‌اند. همچنین در روش HEG مرز اطراف گرانول‌ها بسیار قابل تشخیص‌تر و به راحتی قابل اندازه‌گیری و بیومتری است. در طول سلول‌های ستونی تعداد زیادی هسته جدا شده وجود دارد که کاملاً از شکل دایره‌ای خارج و به شکل کشیده درآمده‌اند. طول سلول‌های ستونی ترشح‌کننده سم حدود ۱۰۰ میکرون و بیش از دو سوم قطر مجرای سم (حدود ۱۲۰ میکرون) است (۳- e و d). همان‌طور که با روش HEG نیز مشاهده می‌شود، در برش‌هایی که با روش HEG رنگ‌آمیزی شده‌اند، هسته‌های سلول‌های اپیتیال و همچنین لایه عضلانی حباب سم و مجرای سم بسیار واضح‌تر هستند (۳- g و e).

بررسی تصاویر برش‌های بخش‌های مختلف این اندام با میکروسکوپ نوری نشان دادکه حباب سم از عضلات طولی و حلقوی تشکیل شده است؛ به این ترتیب که از خارج به داخل طولی-حلقوی-طولی-حلقوی است. مقطع عرضی لومن در حباب سم دایره‌ای شکل بود (شکل‌های ۲- B و C) و در آخرین لایه از حباب سم به سمت لومن یک ردیف سلول اپیتیالی تقریباً مربعی با هسته‌های به نسبت درشت به قطر متوسط ۵ میکرومتر دیده شد که این هسته‌ها بیش از نیمی از طول سلول‌ها را اشغال کرده‌اند و در برخی مقاطع گرانول‌های حاوی سم در لومن حباب سم نیز دیده شدند (شکل ۲- e). بیشترین بخش حباب سم را عضلات طولی تشکیل داده و عضلات حلقوی به صورت دو نوار روشن‌تر از بقیه قسمت‌ها قابل تشخیص‌اند (شکل‌های ۲- B و C). دیواره‌ی خارجی مجرای سم نیز مانند حباب سم عضلانی بوده و از عضلات طولی و حلقوی به همراه بافت همبند، تشکیل می‌شود. لایه داخلی (حلقوی) به قطر تقریبی ۴ میکرون تقریباً یک سوم لایه خارجی (طولی) است که ضخامتی حدود ۱۲ میکرون دارد و به خوبی در تصاویر مشخص است (شکل‌های ۲- g و f). پس از دیواره یک ردیف سلول



شکل ۳ تصاویری از دستگاه تولید سم و برش‌های عرضی مجرای سم در قسمت میانی و انتهاییدر *C. textile* به روش HE و HEG.

a: دستگاه تولید سم که قسمت میانی (MV) و انتهایی مجرای (DV) سم در آن قابل مشاهده است. b, c: برش عرضی قسمت میانی مجرای سم که در آن سلول‌های استوانه‌ای و گرانول‌های موجود در آن به خصوص در تصویر c (روش HEG) قابل مشاهده است (40x). d,e: برش عرضی مجرای سم در قسمت انتهایی که در آن لایه خارجی، سلول‌های اپتیلیال و هسته‌های آن‌ها بهویژه در تصویر e دیده می‌شوند (10x). f,g: برش عرضی بخش انتهایی مجرای سم که در آن لایه عضلات حلقوی، طولی و سلول‌های استوانه‌ای و هسته‌های آن‌ها در قاعده سلول‌ها و گرانول‌ها بهویژه در تصویر g (بدلیل تفاوت رنگ گرانول‌ها با سلول) و همچنین هسته‌های جدا شده بهوسیله ترشح هولوکرین در آن دیده می‌شوند (40x). CC: سلول استوانه‌ای، CM: ماهیچه حلقوی، DN: هسته‌های جدا شده، EC: سلول اپتیلیالی، G: گرانول سم، LM: ماهیچه طولی، N: هسته، OL: لایه خارجی، PV: ابتدای مجرای سم.

سلول‌های اپتیلیالی و هسته قاعده‌ای آن‌ها و گرانول‌های سم که در سلول‌ها و لومن مجرای و حباب سم قبل مشاهده‌اند و همچنین شکل و قرارگیری فیبرهای ماهیچه‌ای در حباب سم و مجرای سم، با کار Shaw که در سال ۱۹۱۴ بافت‌شناسی گونه‌های *C. textile* و *C. tulipa* را بررسی کرد، مطابقت دارد. تعداد زیاد گرانول‌های سم در سلول و لومن مجرای سم و همچنین هسته‌های درشت آن‌ها نشان‌دهنده فعالیت ترشحی بسیار زیاد سلول‌های آن‌ها است و مطالعاتی را Marshall و همکاران در سال ۲۰۰۲ بر روی گونه‌ی *C. californicus* با میکروسکوپ الکترونی انجام دادند و در بخش‌هایی از مجرای سم، میتوکندری‌های زیادی که انرژی کافی برای فعالیت‌های ترشحی سلول را فراهم می‌کردند، مشاهده شد.

گرانول‌ها در سلول‌های مختلف با مسیرهای مشخصی ساخته می‌شوند که در این مسیر از قسمت‌های مختلف سلول مانند شبکه آندوپلاسمی و دستگاه گلزاری عبور کرده و به وسیله لیزوژوم‌ها بالغ‌تر شده و در نهایت از سلول خارج می‌شوند که در سلول‌های مختلف به روش‌های متفاوتی مانند هلوکرین، مروکرین، آپوکرین، اگزوکرین، آنوکرین انجام می‌شوند (Guyton, 2006)، همان‌طور که در برش‌های عرضی سرتاسر مجرای سم مشاهده می‌کنید، هسته‌های جدا شده در میانه سلول‌ها به تعداد زیاد وجود دارد (f-۳ و f-۲) که نشان‌دهنده ترشح هلوکرین در این سلول‌هاست. این نتیجه را در گذشته Marshall و همکاران در سال ۲۰۰۲ و همچنین Safavi-Hemami و همکاران در سال ۲۰۱۰ در سه گونه‌ی مختلف هم گزارش داده بودند. در این بررسی، بخش‌های مختلف سلول در برش‌هایی که با روش HEG رنگ‌آمیزی شده بودند، قابل تشخیص‌تر از روش HE بود که البته این تفاوت در دو روش رنگ‌آمیزی به خصوص در گرانول‌ها بسیار مشهود است. به این ترتیب،

## بحث

در گذشته با مطالعه‌ای که shaw بر روی گونه‌های *C. tulipa* و *C. textile* انجام داد، اعلام کرد که سم در حباب سم تولید می‌شود. پس از آن Hinegardner در سال ۱۹۵۷ در بررسی خود اعلام کرد که حباب سم از مایعی پر شده که این مایع فشار لازم برای خارج کردن سم از دستگاه تولید سم را تأمین می‌کند. در سال ۲۰۱۰ Safavi- Hemami و همکاران در تحقیقی بر روی گونه‌های *C. victoriae* و *Conus novaehollandiae* را بررسی کردند که در آن بهدلیل میزان فراوان اکتین و میوزین در حباب سم که در ماهیچه‌های حرکتی وجود داشت و شباهت این عضلات با عضلات متل<sup>۴</sup> اسکوئید<sup>۵</sup>، نقش پمپ عضلانی را برای حباب سم پیشنهاد کردند. همان‌طور که در تصاویر مشاهده شد، حباب سم به عنوان قسمت ابتدایی دستگاه تولید سم حلزون مخروطی دارای عضلات طولی و حلقوی به همراه بافت پیوندی و یک ردیف سلول به نسبت مریع شکل در قسمت وسط خود به سمت لومناست. هسته‌های این سلول‌ها نسبتاً درشت بوده و بیش از نیمی از طول سلول را اشغال کرده است و به نظر می‌رسد که کاملاً فعال بوده و ترشح داشته باشند. از آنجایی که ترتیب قرارگیری عضله و شکل قرارگیری سلول‌های لایه داخلی حباب سم مشابه مجرای سم است، به نظر می‌رسد این سلول‌ها تحلیل رفتۀ سلول‌های ستونی باشند و ممکن است در گذشته مانند سلول‌های ترشحی مجرای سم، نقش ترشح سم را داشتند؛ اما به مرور زمان این نقش در آن‌ها کمرنگ شده ولی از بین نرفته و با رشد عضلات طولی و حلقوی، وظیفه کمک به خروج سم در زمان شکار یا دفاع را نیز به عهده گرفته‌اند. شکل استوانه‌ای کشیده

<sup>۴</sup>. mantle

<sup>۵</sup>. squid

### منابع

- Bosch, D. T., Dance, S. P., Moolenberk, R. G. and Oliver, P. G. 1995.** Seashells of eastern Arabia. Motivate Publishing, pp 296.
- Endean, R. and Duchemin, C. 1967.** The Venom Apparatus of *Conus magus*. *Toxicon*, 4(4): 275-278.
- Favreau, P. and Stöcklin, R. 2009.** Marine Snail Venoms: Use and Trends in Receptor and Channel Neuropharmacology. *Current Opinion in Pharmacology*, 9(5): 594-601.
- Ghanizadeh, E. and Khodabandeh, S. 2010.** Effects of Ultraviolet Radiation on Skin Structure and Ultrastructure in Caspian Sea Salmon, *Salmo trutta Caspius*, During Alevin Stage. *Toxicological and Environmental Chemistry*, 92(5): 903-914.
- Guyton, A. C. and Hall, J.E. 2006.** Textbook of Medical Physiology. Elsevier Sounder, International Edition, ISBN: 0-8069-0240-1 45-56.
- Hinegardner, R. T. 1957.** The Venom Apparatus of the Cone Shell. *Hawaii Med, J.* 17: 533-536.
- Linder, G. 1999.** Guiade des Coquillages Marins. Delachaux and Niestlé- Lausanne SUISSE, pp316.
- Marsh, H. 1977.** The Radular Apparatus of *Conus*. *Journal of Molluscan Studies*, 43: 1-11.
- Marshall, J., Kelley, W. P., Rubakhin, S. S., Bingham, J. P., Sweedler, J. V. and Gilly, W. F. 2002.** Anatomical Correlates of Venom Production in *Conus californicus*. *The Biological Bulletin*, 203(1): 27-41.
- Martoja, R. and Martoja-Pierson, M. 1967.** Initiation Aux Techniques de l'Histologie Animale. Paris Masson et Cie, 345.
- Olivera, B. M. 2002.** Conus Venom Peptides: Reflections from the Biology of Clades and Species. *Annual Review of Ecology and Systematics*, 25-47.
- Olivera, B. M. 2006.** Handbook of Biologically Active Peptides (chapter 55: *Conus* snail venom peptides). Elsevier, 381-388.
- Safavi-Hemami, H., Young N. D., Williamson N. A. and Purcell A. W. 2010.** Proteomic Interrogation of Venom Delivery in Marine Cone Snails, Novel Insights into the Role of the Venom Bulb. *Journal of Proteome Research*, 9: 5610-5619.

گرانولهایی که با روش HEG رنگآمیزی شده بودند بهدلیل اینکه رنگشان متفاوت با بافت اطراف بوده، بسیار واضح و مرز کاملاً مشخصی دارد که برای مطالعات بیومتری و دیگر مطالعات که در آن شمارش و اندازه‌گیری این گرانولها برای مشاهده بلوغ گرانولها یا تفاوت اندازه آنها در گونه‌های مختلف انجام می‌گیرد، می‌تواند استفاده شود.

نتایج این تحقیق نشان می‌دهد که ساختار کلی دستگاه تولید سم از سه قسمت اصلی حباب سم، مجرای سم و کیسه رادولا تشکیل شده است. حباب سم دارای ماهیچه‌های طولی و عرضی است و یک ردیف سلول در داخلی‌ترین لایه آن به سمت لومن قرار دارد که در این گونه به نظر می‌رسد نقش ترشحی نیز داشته باشد. مجرای سم دارای سلول‌های استوانه‌ای کشیده با هسته‌های درشت قاعده‌ای است که گرانولهای فراوانی در درون خود دارد. در درون لومن مجرای سم نیز تعداد زیادی گرانول وجود دارد که به‌وسیله ترشح هولوکرین جدا شده‌اند. در برش‌هایی که با روش HEG رنگآمیزی شده بودند، گرانولهای سم و هسته سلول‌ها مشخص‌تر از برش‌هایی هستند که به‌نهایی با روش HE رنگآمیزی شدند.

### تشکر و قدردانی

این تحقیق در آزمایشگاه دانشگاه تربیت مدرس (دانشکده علوم دریایی نور) و با مشارکت پژوهشکده علوم زیست فناوری دریایی خلیج‌فارس در بوشهر انجام شده است. از تمام مسئلان و کارکنان آزمایشگاه دانشگاه تربیت مدرس و همکاران از پژوهشکده علوم زیست‌فناوری دریایی خلیج‌فارس و همچنین از خانواده محترم ملاحی بابت کمک‌های بی‌دریغ‌شان بسیار سپاسگزاریم.

**Songdahl, J. H. 1970.** The Venom and Venom Apparatus of The Atlantic cone, *Conus spuriusatlanticus* (Clench). *Bulletin of Marine Science*, Sci. 23: 600–612.

**Terlau, H. and Olivera, B. M. 2004.** *Conus* Venoms: A Rich Source of Novel Ion Channel-Targeted Peptides. *Physiological Reviews*, 84(1): 41-68.

**Safavi-Hemami, H., Siero, W. A., Gorasia, D. G., Young, N. D., MacMillan, D., Williamson, N. A. and Purcell, A. W. 2011.** Specialisation of the Venom Gland Proteome in Predatory Cone Snails Reveals Functional Diversification of the Conotoxin Biosynthetic Pathway. *Journal of Proteome Research*, 3904–3919.

**Shaw, H. Q. 1914.** On the Anatomy of *Conustulipa*Linn., and *Conus textile* Linn. *Quarterly Journal of Microscopical Science*, Sci. 60: 1–60.



## A comparative study of venom apparatus structure in cone snail (*Conus textile*) by Hematoxylin-Eosin and Greenlight

Ferial Monsef<sup>1</sup>, Saber Khodabandeh<sup>2\*</sup> and Iraj Nabipour<sup>3</sup>

1- M.Sc. graduated of marine biology, faculty of marine sciences, Tarbiat Modares University, Noor.

2- Associate Prof., department of marine biology, faculty of marine sciences, Tarbiat Modares University, Noor.

3- Institute of Persian Gulf marine biotechnology, University of Medical Sciences, Booshehr.

Received: 09/11/2013

Accepted: 20/07/2014

\* Corresponding author: surp78@gmail.com

### Abstract:

Cone snails of the genus *Conus* are one of the most toxic species of carnivorous marine invertebrates in tropical and subtropical areas. They are highly regarded, due to their medicinal compounds, which derived from their toxins. In order to examine the venom apparatus structure, 12 specimens of *C. textile* were collected from the coastal zone of Gheshm Island and then they fixed in Bouin's for 48 hours and transferred to laboratory in ethanol. After breaking of shellfish, the venom apparatus were isolated and their different parts (after molding and cutting) were stained by HE and HEG and photographed by Nikon microscope. The stereomicroscope observation showed that the venom apparatus was included: (1) toxin production part (venom duct), (2) toxin transmission part (venom bulb), and (3) injection part (radula and proboscis). Photographs of sections showed that the venom bulb was completely muscular, consisting of longitudinal and transverse muscle fibers, and in their middle part a channel with epithelial cells was observed. Venom duct walls composed of 3 parts including the outer layer of muscle an inner layer of columnar epithelial cells with basal nucleus and the inner lumens which filled by the granules. HEG stained slides showed a much sharper cytoplasmic and nuclear implementation, particularly granules containing toxins were easily countable and measurable. Although the conventional HE staining method clearly showed different parts of the gland, but HEG method in addition to distinguishing different sections of tissue, seemed to be a suitable technique for studying the role of different parts of the organ in producing conotoxin in the form of secretory granules.

**Keywords:** *Conus*, Gheshm Island, *C. textile*, HE, HEG.